

# Proyecto No. 1: Diseño y Control Cinemático de un Cuadrúpedo (Simulación)

---



María Fernana Girón (16820)  
Domenico Dellachiessa (16036)  
Jacqueline Guarcax (16142)  
Eduardo Santizo Olivet (16089)  
Sección 10  
10 de mayo de 2020

## I. Matriz Denavit-Hartenberg

### 1. Modelo del Robot 3D para patas delanteras

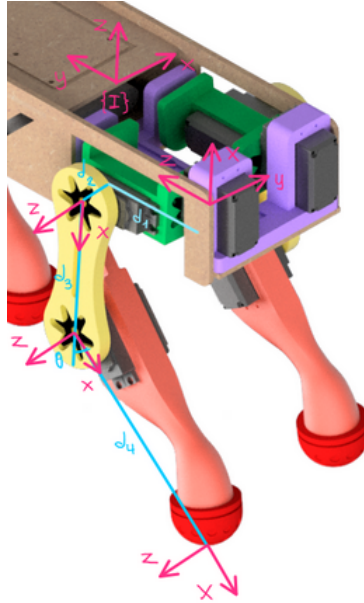


Figura 1: Patas delanteras del cuadrúpedo

q	$\theta$	b	a	$\alpha$
q1	0	d1	0	$\pi/2$
q2	$\pi$	d2	d3	0
q3	$\pi/6$	0	d4	0

Cuadro 1: Parámetros Denavit-Hartenberg

Dimensiones:

$$d1 = 50mm$$

$$d2 = 15mm$$

$$d3 = 80mm$$

$$d4 = 129mm$$

## 2. Modelo del Robot 2D para patas traseras

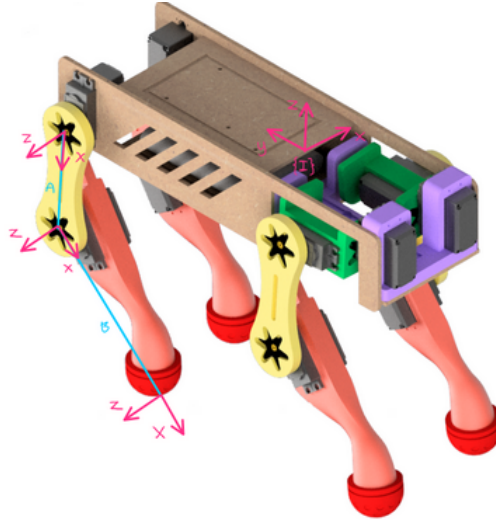


Figura 2: Patas traseras del cuadrúpedo

q	$\theta$	b	a	$\alpha$
q1	$\pi/6$	0	A	0
q2	$4\pi/6$	0	B	0

Cuadro 2: Parámetros Denavit-Hartenberg

Dimensiones:

$$A = 80mm$$

$$B = 129mm$$

Con los parámetros de Denavit-Hartenberg definidos se procedió a definir las patas como objetos *SerialLink* en matlab. Con los objetos definidos se utilizó la función *teach* para visualizar y manipular las patas, de esta forma se obtuvo una mejor visión del movimiento que se esperaba que realizaran.

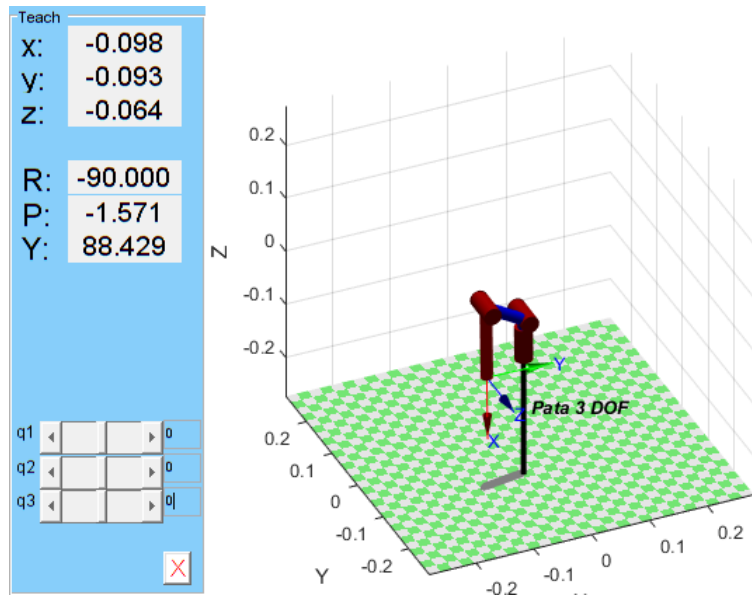


Figura 3: *SerialLink* pata delantera

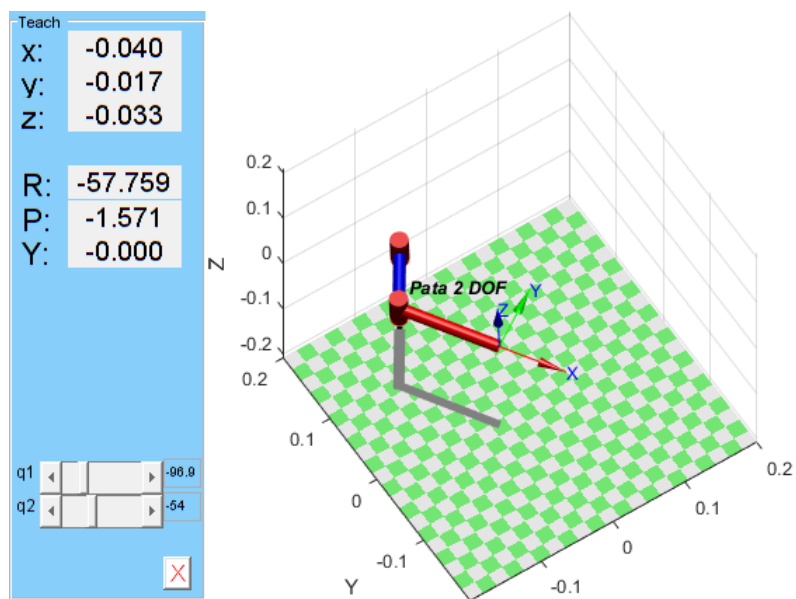


Figura 4: *SerialLink* pata trasera

## II. Cinemática Directa

Para ambos casos la cinemática directa se obtuvo con la matrices de Denavit-Hartenberg. Inicialmente se obtuvo la matriz de transformación homogénea  $A_j$  para los ángulos de Denavit-Hartenberg.

$$\mathbf{A}_j \equiv {}^{j-1}\mathbf{T}_j = \text{Rot}_z(\theta_j) \text{Transl}_z(d_j) \text{Transl}_x(a_j) \text{Rot}_x(\alpha_j) \quad (1)$$

A partir de esto se obtuvo la cinemática directa en forma de matriz de transformación homogénea. Empleando la convención DH, en donde la cinemática directa se define como:

$$B\mathbf{T}_E(\mathbf{q}) = \prod_{j=1}^N \mathbf{A}_j(q_j) \quad (2)$$

Adicionalmente, se emplearon transformaciones de base y de herramienta, según el caso. De esta forma, se consideró la posición inicial de las patas del robot respecto al marco inercial. Y la posición del efector final de la pata, respecto al inicio de la misma.

### Modelo 3D

Matriz DH:

$$DH = \begin{bmatrix} q(1) & d1 & 0 & \pi/2 \\ q(2)+\pi & d2 & d3 & 0 \\ q(3)+\pi/6 & 0 & d4 & 0 \end{bmatrix}$$

Transformación de Base:

$$I\mathbf{T}_B = \begin{bmatrix} 0.9996 & 0.0274 & 0 & -0.0284 \\ -0.0274 & 0.9992 & 0.0274 & -0.0785 \\ 0.0008 & -0.0274 & 0.9996 & -0.0251 \\ 0 & 0 & 0 & 1.0000 \end{bmatrix}$$

### Modelo 2D

Matriz DH:

$$DH = \begin{bmatrix} q(1)+\pi/6 & 0 & A & 0 \\ q(2)+4\pi/6 & 0 & B & 0 \end{bmatrix}$$

Transformación de Base:

$$I\mathbf{T}_B = \begin{bmatrix} 0.9981 & -0.0548 & -0.0274 & -0.0640 \\ 0.0548 & 0.9985 & 0 & 0.1588 \\ 0.0274 & -0.0015 & 0.9996 & -0.0341 \\ 0 & 0 & 0 & 1.0000 \end{bmatrix}$$

### III. Cinemática Inversa

Se empleó la cinemática inversa numérica completa mediante un cálculo iterativo descrito en la ecuación 3. Lo que se busca es acumular las configuraciones pasadas y el error para llegar a la pose final deseada.

$$\mathbf{q}_{k+1} = \mathbf{q}_k + \mathbf{J}^{-1}(\mathbf{q}_k) \mathbf{e}_k \quad (3)$$

Para el cálculo de la pseudo inversa del jacobiano se seleccionó el de Levenberg-Marquardt 4. Esta decisión se tomó debido a que evita que el algoritmo presente problemas en las singularidades y provee una solución con mayor continuidad. Este comportamiento es útil porque se desea que el robot presente movimientos naturales.

$$\mathbf{J}^\dagger \rightarrow \mathbf{J}^\top (\mathbf{J}\mathbf{J}^\top + \lambda^2 \mathbf{I})^{-1} \quad (4)$$

En cuanto al cálculo del error se seleccionó una tolerancia de  $1 \times 10^{-6}$  para la posición y  $1 \times 10^{-5}$  para la orientación. El error está descrito por la siguiente ecuación:

$$\mathbf{e}_k = \begin{bmatrix} \mathbf{e}_p[k] \\ \mathbf{e}_o[k] \end{bmatrix} \quad (5)$$

En donde el error de posición esta definido conforme a 6 y el de orientación respecto a 8 derivado del cálculo efectuado mediante cuaterniones.

$$\mathbf{e}_k = \mathbf{o}_d - \mathbf{o}(\mathbf{q}_k) \quad (6)$$

$$\mathcal{Q}_e[k] = \mathcal{Q}_d * \mathcal{Q}^{-1}(\mathbf{q}_k) = \{\eta_e[k], \boldsymbol{\epsilon}_e[k]\} \quad (7)$$

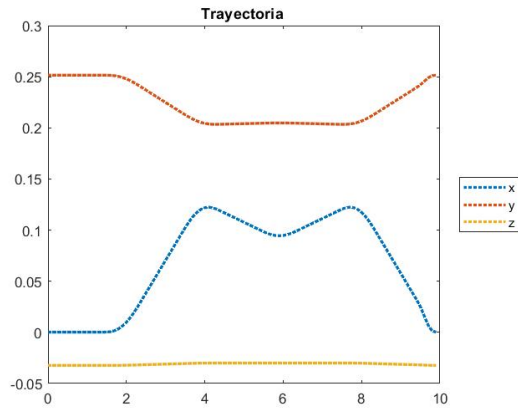
$$\mathbf{e}_o[k] = \boldsymbol{\epsilon}_e[k] \quad (8)$$

Cabe resaltar que si la configuración inicial se encuentra más cercana a la configuración final se obtendrán trayectorias más suaves. Esta idea es la que permite la generación de la trayectoria deseada dándole así mayor importancia a este procedimiento.

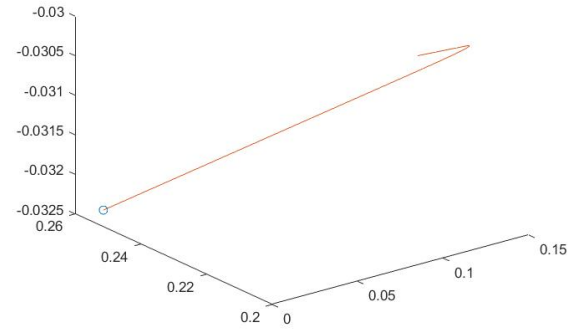
### IV. Generación de trayectoria

Para generar la trayectoria inicialmente se plantearon los puntos necesarios para generar el movimiento deseado para las patas delanteras y traseras. En el caso de las patas traseras, el movimiento es únicamente en dos dimensiones. Mientras que a las patas delanteras, se les agregó un grado más de libertad para mejorar la locomoción del cuadrúpedo.

Con los puntos establecidos se utilizó la función *mstraj* de la *Robotic Toolbox* para generar la trayectoria. Seguido de esto, se planteó la cinemática inversa para cada conjunto de coordenadas generado en la trayectoria y se procedió a almacenar las configuraciones resultantes.

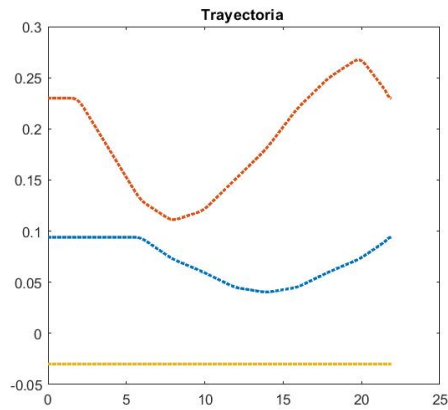


(a) Trayectoria para cada coordenada respecto al tiempo

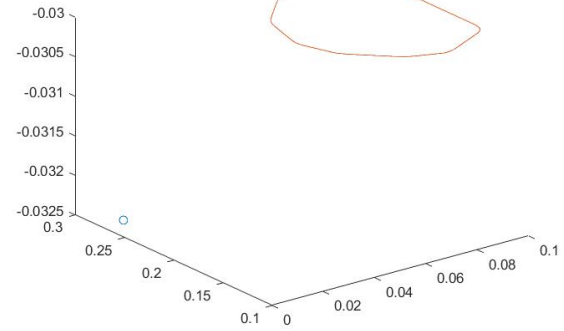


(b) Trayectoria multi-segmento

Figura 5: Simulación de la trayectoria del robot parándose

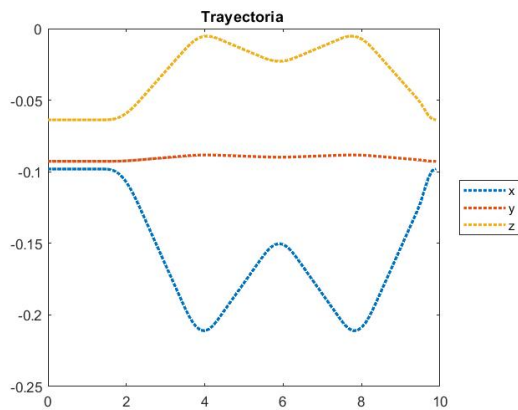


(a) Trayectoria para cada coordenada respecto al tiempo

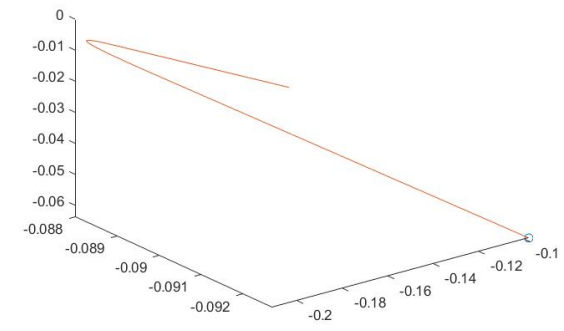


(b) Trayectoria multi-segmento

Figura 6: Simulación de la trayectoria del robot caminando



(a) Trayectoria para cada coordenada respecto al tiempo



(b) Trayectoria multi-segmento

Figura 7: Simulación de la trayectoria para tercer grado de libertad